

PACS numbers: 71.45.Gm, 71.55.Eq, 73.20.Mf, 73.40.Gk

## Туннельная спектроскопия квазидвумерных плазмонов

В.А. Волков, Э. Тахтамиров, Д.Ю. Иванов,  
Ю.В. Дубровский, Л. Ивс, П.К. Мэйн, М. Хенини,  
Д.К. Мод, Ж.-К. Портал, Ж.К. Маан, Дж. Хилл

### 1. Введение

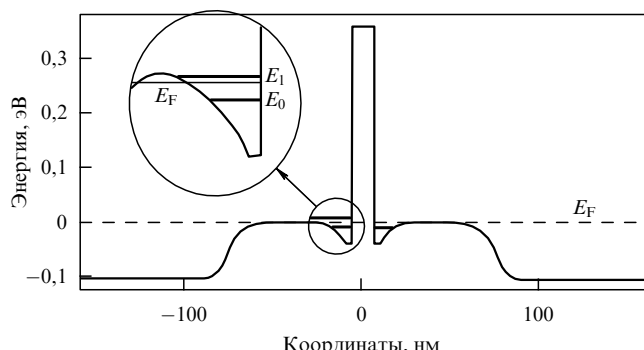
В двумерных (2D) электронных системах на основе полупроводников с изотропным параболическим законом дисперсии движение электронов вдоль и поперек интерфейса разделяется. Поэтому в магнитном поле  $B$ , перпендикулярном интерфейсу, одночастичные уровни Ландау (УЛ) из разных подзон не взаимодействуют друг с другом, и возможно их пересечение [1]. Иная ситуация реализуется в 2D системах на основе полупроводников с сильнонепараболическим спектром, таких, как узкощелевой полупроводник PbTe [2]. Туннельные измерения в последнем случае демонстрируют антипересечение УЛ из разных 2D подзон.

Нами впервые обнаружено сильное взаимодействие таких УЛ в туннельной 2D системе на основе GaAs, полупроводника с почти параболическим законом дисперсии электронов. Были использованы сильнонеупорядоченные образцы, что позволило разрешить туннельные переходы между двумя 2D системами как без изменения, так и с изменением номера УЛ при туннелировании  $2D \rightarrow 2D$ .

### 2. Измерения

#### 2.1. Образцы

Использовалась однобарьерная гетероструктура GaAs/ $\text{Al}_{0.4}\text{Ga}_{0.6}\text{As}/\text{GaAs}$  с толщиной барьера 12 нм и вертикальным туннельным транспортом. Барьер был отделен от сильнолегированных контактных областей нелегированными спайсерами толщиной 50 нм. Для формирования 2D электронных слоев было использовано дельта-легирование кремнием с концентрацией в каждом слое  $3 \times 10^{11} \text{ см}^{-2}$  на расстоянии 5 нм с каждой стороны барьера. При помощи жидкостного травления были

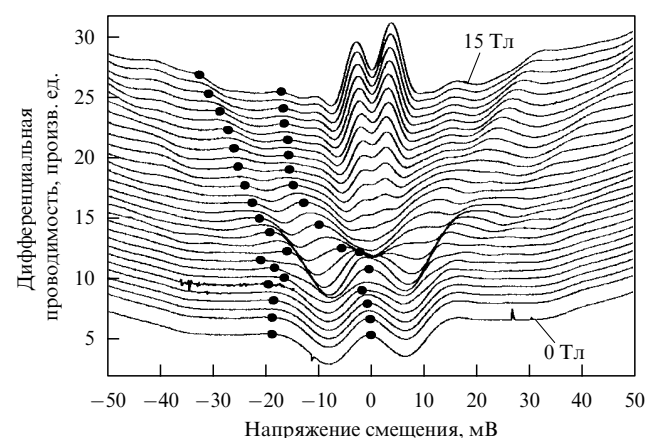


**Рис. 1.** Схематическая зонная диаграмма при нулевом смещении. Вставка более детально показывает уровни энергии в 2D системах.  $E_0$  и  $E_1$  — доньи основной и первой 2D подзоны,  $E_F$  — энергия Ферми.

сформированы мезаструктуры диаметром 100–400 мкм. Прозрачность туннельного барьера была значительно ниже прозрачности спайсера, поэтому почти все приложенное к структуре напряжение падало на туннельном барьере. Измерения осцилляций типа Шубникова–де Гааза в туннельном токе давали концентрацию электронов в 2D слоях, примерно равную концентрации легирующей примеси. Схематическое изображение зонной диаграммы исследуемой структуры при нулевом напряжении приведено на рис. 1. Типичное значение подвижности электронов составляло величину  $\mu = 1000 \text{ см}^2 \text{ В}^{-1} \text{ с}^{-1}$  при 4,2 К.

#### 2.2. Эксперимент

Рисунок 2 показывает дифференциальную туннельную проводимость  $G$  при 4,2 К, измеренную с помощью стандартной lock-in методики, как функцию приложенного напряжения  $V_b$  в различных магнитных полях вплоть до 15 Тл. В нулевом магнитном поле (нижняя кривая на рис. 2) дифференциальная проводимость имеет пик при нулевом смещении и два заметных "плеча" при больших напряжениях для обеих полярностей приложенного напряжения. Пик при нулевом смещении отражает резонансное туннелирование между основными состояниями правой и левой электронными системами, а "плечи" связаны с резонансным туннелированием между основной 2D подзоной ( $n = 0$ ) эмиттерной системы и первой возбужденной подзоной ( $n = 1$ ) коллекторной системы. Тот факт, что виден значительный пик в нулевом магнитном поле при нулевом напряжении, свидетельствует об относительно большой доле процессов туннелирования с сохранением импульса вдоль интерфейса, несмотря на большое число рассеивающих центров. Развитие этих особенностей с увеличением магнитного поля связано с туннелированием между различными УЛ.



**Рис. 2.** Туннельная дифференциальная проводимость при температуре 4,2 К как функция приложенного к структуре напряжения для мезы диаметром 400 мкм. Нижняя кривая снята при  $B = 0$  Тл. Вторая снизу — при  $B = 1$  Тл. Дальше — с шагом  $\Delta B = 0,5$  Тл до  $B = 15$  Тл. Пики, эволюция которых рассматривается в данной работе, отмечены кружками.

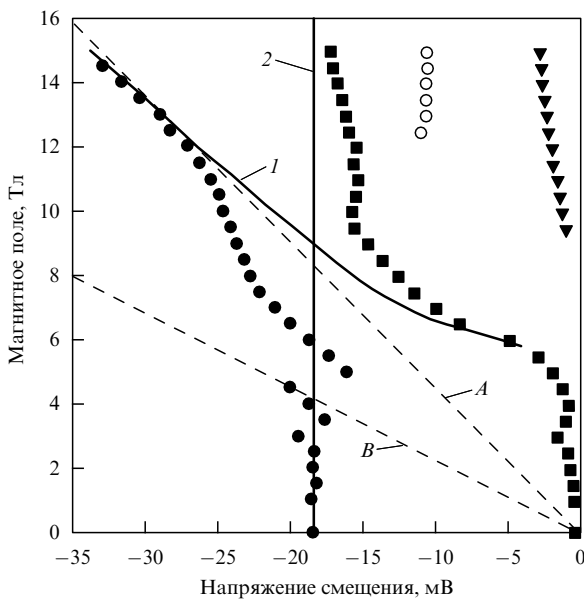
В районе  $B = 6$  Тл, т.е. вблизи фактора заполнения УЛ  $v = 2$ , измеренные кривые  $G(V)$  демонстрируют (см. рис. 2) заметный минимум при нулевом напряжении. С дальнейшим увеличением  $B$  минимум плавно переходит

© В.А. Волков, Э. Тахтамиров, Д.Ю. Иванов, Ю.В. Дубровский, Л. Ивс, П.К. Мэйн, М. Хенини, Д.К. Мод, Ж.-К. Портал, Ж.К. Маан, Дж. Хилл 2001

в два максимума. Детали процесса туннелирования в районе нулевого смещения рассмотрены в работе [3] и здесь обсуждаться не будут.

### 3. Результат

Обсудим поведение "плечей" в  $G(V)$ , выделенных кружками на рис. 2. Веерная диаграмма для этих переходов приведена на рис. 3. Рассматривается только отрицательное смещение, так как основные черты этой диаграммы симметричны по напряжению.



**Рис. 3.** Положение пиков по шкале напряжения как функция магнитного поля. Кружки, квадраты и треугольники представляют экспериментальные данные и обсуждаются в тексте. Кривая 1 — это расчетное положение пика при переходе  $(n = 0, N = 0) \rightarrow (n = 0, N = 1)$ , где  $N$  — номер УЛ. Вертикальная линия, отмеченная как 2, представляет ожидаемое положение пика для перехода  $(n = 0, N = 0) \rightarrow (n = 1, N = 0)$ . Кривые 1 и 2 не учитывают взаимодействия между УЛ. Линии A и B имеют наклоны  $Lh\omega_c$  и  $2Lh\omega_c$  и описывают туннелирование между УЛ с  $\Delta N = 1$  и  $\Delta N = 2$ , где  $L = 1,28$ .

В магнитных полях, больших 12 Тл, и напряжениях смещения  $\sim 30$  мВ закрашенные кружки соответствуют переходу между нижним УЛ ( $N = 0$ ) основной 2D подзоны ( $n = 0$ ) в эмиттере и первым УЛ ( $N = 1$ ) основной 2D подзоны ( $n = 0$ ) в коллекторе, т.е.  $(n = 0, N = 0) \rightarrow (n = 0, N = 1)$ . Штриховая линия A имеет наклон  $Lh\omega_c$ , где  $\omega_c$  — циклотронная частота,  $L = 1,28$  — электростатический фактор (отношение приложенного напряжения к напряжению, падающему на барьере). Эта линия демонстрирует положение пика для туннелирования с  $\Delta N = 1$  в пренебрежении уширением УЛ. Штриховая линия B дает в том же приближении положение пиков для туннелирования с  $\Delta N = 2$ .

Для уширенных УЛ измеряемая дифференциальная туннельная проводимость определяется плотностью состояний на уровне Ферми в эмиттерной 2D системе. Расчетное положение пиков для переходов между уширенными УЛ  $(n = 0, N = 0) \rightarrow (n = 0, N = 1)$  показано сплошной линией 1. Положение пиков, соответствующих туннелированию с сохранением УЛ ( $\Delta N = 0$ ), не зависит от магнитного поля и должно совпадать с

вертикальной линией 2. В случае, когда отсутствует взаимодействие между УЛ, некоторые линии на рис. 3 должны были бы пересечься, подобно линиям 1 и 2. Вместо этого наблюдается явное расталкивание линий, состоящих из кружков и квадратов, что и является свидетельством взаимодействия УЛ ( $n = 0, N = 1$ ) и ( $n = 1, N = 0$ ). Наблюданное расщепление порядка 10 мэВ. Некоторый намек на расталкивание наблюдается также в районе пересечения линий 2 и B, что соответствует взаимодействию УЛ ( $n = 0, N = 2$ ) и ( $n = 1, N = 0$ ) в коллекторной системе. К сожалению, точность определения положений пиков не позволяет сделать более конкретных утверждений.

Для полноты картины мы также приводим положения пиков в районе нулевого смещения (кривые из треугольников), которые описаны в работе [3] по исследованию туннельной щели на уровне Ферми в магнитном поле. Происхождение пиков, обозначенных пустыми кружками в районе 14 мВ в магнитных полях, больших 12 Тл, предположительно связано со спиновым расщеплением в системе.

### 4. Возможные причины антипересечения

Обсудим возможные причины наблюдающегося в нашем эксперименте сильного ( $\sim 10$  мэВ) антипересечения уровней ( $n = 0, N = 1$ ) и ( $n = 1, N = 0$ ). Механизм, ответственный за этот эффект, должен перемешивать продольное (вдоль слоя) и поперечное (перпендикулярно барьера) движения электронов в квази-2D системе.

#### 4.1. Разориентация магнитного поля

Эксперименты в наклонном магнитном поле показали, что точность ориентации магнитного поля вдоль тока ( $\mathbf{B} \parallel \mathbf{J}$ ) была достаточной для исключения влияния компоненты магнитного поля в плоскости образца на антипересечение. А именно, разориентация ( $\mathbf{B}$  и  $\mathbf{J}$ ) порядка  $5^\circ$  не приводила к качественному изменению рис. 3. Более того, заметных на глаз количественных изменений также не было.

#### 4.2. Непараболичность электронного спектра $E(k)$

Другой возможной причиной антипересечения могла бы стать непараболичность электронного спектра  $E(k)$  в GaAs. Качественно похожее антипересечение наблюдалось в сильно непараболичном материале PbTe [2]. Но в этом случае сильное антипересечение УЛ связано с тем фактом, что главные оси эллипсоидов постоянной энергии дна зоны проводимости (L-точки зоны Бриллюэна) не совпадали с направлением роста. Это не так для GaAs, и оценки вклада непараболичности в антипересечение дают величину порядка 1 мэВ, слишком малую для объяснения обнаруженного эффекта.

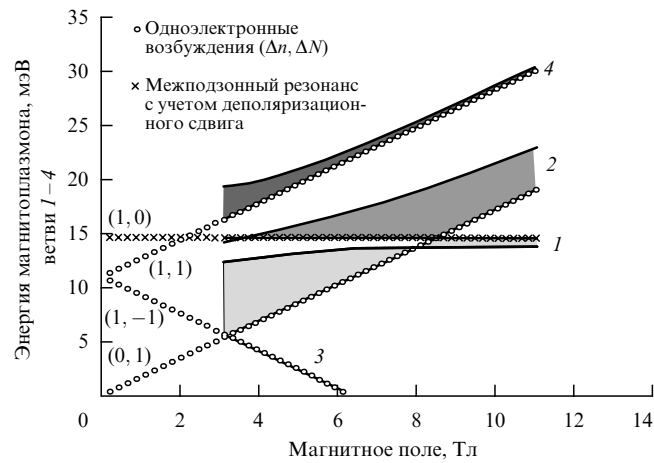
#### 4.3. Туннелирование с участием магнитоплазмонов

Альтернативное объяснение антипересечения связано с коллективными возбуждениями электронной системы. Рассмотрим возможные механизмы релаксации энергии электрона, который протуннелировал на какой-либо возбужденный уровень в системе с полностью дискретным спектром. Хорошо известно, что если расстояние до нижележащего энергетического уровня кратно энергии LO-фона, то энергетическая релаксация происходит за счет резонансного излучения таких фононов. Это соот-

вествует появлению фононных реплик в туннельном спектре. В нашем случае подобные процессы еще запрещены (фононные реплики видны при значительно больших напряжениях смещения  $V_b$ ). С другой стороны, энергетически разрешена релаксация с испусканием квази-2D магнитоплазмонов, имеющих характерную энергию, равную  $\hbar\omega_c$  (внутриподзонные плазмоны) или расстоянию между 2D подзонами (межподзонные плазмоны [4]). Туннельные процессы с резонансным испусканием внутриподзонных и межподзонных 2D магнитоплазмонов будут проявляться на эксперименте, вообще говоря, подобно одночастичным процессам с изменением квантовых чисел  $n$  и  $N$ . Качественно иная ситуация возникает в районе пересечения одночастичных термов 1 и 2 на рис. 3. Следует ожидать, что кулоновское взаимодействие, ответственное за возникновение плазменных возбуждений, будет приводить к сильному взаимодействию двух вышеупомянутых ветвей магнитоплазмонов именно в районе пересечения одночастичных термов. Этим можно попытаться объяснить наблюдаемое антипересечение "одночастичных" термов.

Перейдем к количественному описанию спектра квази-2D магнитоплазмонов. Существует большое количество работ, посвященных теоретическому исследованию спектра плазмонов в квази-2D системах. В большинстве из них исследовались плазмоны при отсутствии магнитного поля (см., например, [4–6]). Было показано, что существуют две ветви плазмонов: внутриподзонные плазмоны, которые связаны с колебанием электронов в основной 2D подзоне, и межподзонные плазмоны, связанные с виртуальными переходами между 2D подзonenами. Первые имеют бесщелевой спектр, а вторые — слабую дисперсию и щель, равную сумме межподзонной энергии  $\Delta$  и энергии деполяризации. Взаимодействие межподзонных и внутриподзонных мод при отсутствии магнитного поля весьма мало даже при специальном выборе геометрии структуры [7]. Ряд работ был посвящен расчету спектра квази-2D плазмонов в магнитном поле (см., например, [8–11]). Результаты содержат очень богатую структуру спектра таких магнитоплазмонов, но очень сильно зависят от использовавшихся приближений и типа системы. Мы сделали расчет спектра магнитоплазмонов в рамках приближения случайных фаз для структуры, использовавшейся в эксперименте. Поскольку плазмоны возбуждаются в процессе  $2D \rightarrow 2D$  туннелирования в симметричной системе, интерес представляют только антисимметричные (относительно центра барьера) плазмонные моды. Результат был получен в дипольном приближении (малые волновые векторы  $\mathbf{q} = (q_x, q_y)$ ) для достаточно сильных магнитных полей, когда фактор заполнения  $v < 4$ .

Результат представлен на рис. 4, где показаны четыре магнитоплазменные ветви: межподzonная 1, внутриподzonная 2, а также ветви комбинированного резонанса 3 и 4, связанные с виртуальными переходами между состояниями  $(n = 0, N = 1)$  и  $(n = 1, N = 0)$ , а также  $(n = 0, N = 0)$  и  $(n = 1, N = 1)$ . Энергия деполяризации в данном случае близка к 4 мэВ. При  $q = 0$  энергии магнитоплазмонов совпадают с энергиями одночастичных возбуждений, показанными на рис. 4 линиями из кружков и крестиков. Вероятно, антипересечение ветвей 1 и 4 и было обнаружено в наших экспериментах из-за высокой плотности состояний на них. Наблюдавшееся антипересечение двух пиков можно интерпретировать как про-



**Рис. 4.** Энергия магнитоплазмона (четыре ветви) как функция магнитного поля при различных волновых векторах  $q$ . Закрашенные области соответствуют значениям  $q$  от нуля до  $5 \times 10^5 \text{ см}^{-1}$ . Ветвь 1 — межподзонный плазмон, 2 — внутриподзонный плазмон, а ветви 3 и 4 являются плазмонами комбинированного резонанса соответственно с переходами  $\Delta - \omega_c$  и  $\Delta + \omega_c$ . Линия кружков показывает энергию одночастичных возбуждений ( $\Delta n, \Delta N$ );  $\Delta = 11 \text{ мэВ}$  — межподзонная энергия.

явление релаксации на "гибридных" внутри- и межподзонных магнитоплазмонах. Необычная форма антипересечения на рис. 3, возможно, связана с влиянием ветви 2 на рис. 4.

## 5. Заключение

Исследованы процессы туннелирования между сильно-неупорядоченными 2D электронными системами в квантующем магнитном поле, параллельном току. Обнаружено сильное взаимодействие между уровнями Ландау из разных 2D подзон. Предложено объяснение наблюдаемого антипересечения, связанное с возбуждением внутри- и межподзонных магнитоплазмонов в квази-2D системе.

Работа была поддержана РФФИ (проекты 99-02-17592, 01-02-97020, 01-02-06476), программами "Физика твердотельныхnanoструктур", "Поверхностные атомные структуры" и "Физика квантовых и волновых процессов".

## Список литературы

1. Duke C B *Phys. Rev.* **159** 632 (1967); Ben Daniel D J, Duke C B *Phys. Rev.* **160** 679 (1967); Duke C B *Phys. Lett. A* **24** 461 (1967); Baraff G A, Appelbaum J A *Phys. Rev. B* **5** 475 (1972)
2. Tsui D C, Kaminsky G, Schmidt P H *Phys. Rev. B* **9** 3524 (1974)
3. Khanin Yu N et al. *Physica E* **6** 602 (2000)
4. Dahl D A, Sham L J *Phys. Rev. B* **16** 651 (1977)
5. Витлина Р З, Чаплик А В *ЖЭТФ* **81** 1011 (1981)
6. Jain J K, Das Sarma S *Phys. Rev. B* **36** 5949 (1987)
7. Hu C-M, Schüller C, Heitmann D *Phys. Rev. B* **64** 073303 (2001)
8. Chiu K W, Quinn J J *Phys. Rev. B* **9** 4724 (1974)
9. Tselis A, Quinn J J *Surf. Sci.* **113** 362 (1982)
10. Wendler L, Pechstedt R *J. Phys. Condens. Mat.* **2** 8881 (1990)
11. Бисти В Е *Письма в ЖЭТФ* **69** 543 (1999)